

Starkniederschlagshöhen und -spenden gemäß KOSTRA-DWD-2010R

Auswertungszeitraum von 1951 - 2010, Januar - Dezember

Rasterfeld: 13052

Zeile: 13

Spalte: 52

Seite: 1/2

| Dauerstufe D | Wiederkehrzeit T | | | | | | | | | | | | | | | | | | |
|--------------|------------------|------|------------|------|------------|------|------------|------|------------|------|------------|------|------------|------|------------|------|------------|------|------------|
| | 1 a | | 2 a | | 3 a | | 5 a | | 10 a | | 20 a | | 30 a | | 50 a | | 100 a | | |
| min | Std | mm | l / (s ha) | mm | l / (s ha) | mm | l / (s ha) | mm | l / (s ha) | mm | l / (s ha) | mm | l / (s ha) | mm | l / (s ha) | mm | l / (s ha) | mm | l / (s ha) |
| 5 | | 4,6 | 153,3 | 5,7 | 190,0 | 6,4 | 213,3 | 7,2 | 240,0 | 8,4 | 280,0 | 9,5 | 316,7 | 10,2 | 340,0 | 11,0 | 366,7 | 12,2 | 406,7 |
| 10 | | 7,3 | 121,7 | 8,9 | 148,3 | 9,9 | 165,0 | 11,2 | 186,7 | 12,8 | 213,3 | 14,5 | 241,7 | 15,5 | 258,3 | 16,7 | 278,3 | 18,4 | 306,7 |
| 15 | | 9,0 | 100,0 | 11,1 | 123,3 | 12,3 | 136,7 | 13,9 | 154,4 | 16,0 | 177,8 | 18,1 | 201,1 | 19,3 | 214,4 | 20,9 | 232,2 | 23,0 | 255,6 |
| 20 | | 10,2 | 85,0 | 12,7 | 105,8 | 14,2 | 118,3 | 16,0 | 133,3 | 18,5 | 154,2 | 20,9 | 174,2 | 22,4 | 186,7 | 24,2 | 201,7 | 26,7 | 222,5 |
| 30 | | 11,9 | 66,1 | 15,0 | 83,3 | 16,8 | 93,3 | 19,1 | 106,1 | 22,2 | 123,3 | 25,3 | 140,6 | 27,1 | 150,6 | 29,4 | 163,3 | 32,5 | 180,6 |
| 45 | | 13,3 | 49,3 | 17,2 | 63,7 | 19,4 | 71,9 | 22,3 | 82,6 | 26,2 | 97,0 | 30,1 | 111,5 | 32,3 | 119,6 | 35,2 | 130,4 | 39,1 | 144,8 |
| 60 | | 14,1 | 39,2 | 18,7 | 51,9 | 21,3 | 59,2 | 24,7 | 68,6 | 29,2 | 81,1 | 33,8 | 93,9 | 36,5 | 101,4 | 39,8 | 110,6 | 44,4 | 123,3 |
| 90 | | 15,6 | 28,9 | 20,3 | 37,6 | 23,1 | 42,8 | 26,6 | 49,3 | 31,3 | 58,0 | 36,1 | 66,9 | 38,9 | 72,0 | 42,4 | 78,5 | 47,1 | 87,2 |
| 120 | 2 | 16,7 | 23,2 | 21,6 | 30,0 | 24,5 | 34,0 | 28,1 | 39,0 | 32,9 | 45,7 | 37,8 | 52,5 | 40,7 | 56,5 | 44,3 | 61,5 | 49,2 | 68,3 |
| 180 | 3 | 18,5 | 17,1 | 23,6 | 21,9 | 26,5 | 24,5 | 30,3 | 28,1 | 35,4 | 32,8 | 40,4 | 37,4 | 43,4 | 40,2 | 47,2 | 43,7 | 52,2 | 48,3 |
| 240 | 4 | 19,9 | 13,8 | 25,1 | 17,4 | 28,1 | 19,5 | 32,0 | 22,2 | 37,2 | 25,8 | 42,4 | 29,4 | 45,5 | 31,6 | 49,3 | 34,2 | 54,6 | 37,9 |
| 360 | 6 | 21,9 | 10,1 | 27,4 | 12,7 | 30,6 | 14,2 | 34,6 | 16,0 | 40,0 | 18,5 | 45,4 | 21,0 | 48,6 | 22,5 | 52,6 | 24,4 | 58,1 | 26,9 |
| 540 | 9 | 24,3 | 7,5 | 29,9 | 9,2 | 33,2 | 10,2 | 37,4 | 11,5 | 43,1 | 13,3 | 48,7 | 15,0 | 52,0 | 16,0 | 56,2 | 17,3 | 61,9 | 19,1 |
| 720 | 12 | 26,0 | 6,0 | 31,9 | 7,4 | 35,3 | 8,2 | 39,6 | 9,2 | 45,4 | 10,5 | 51,2 | 11,9 | 54,6 | 12,6 | 58,9 | 13,6 | 64,7 | 15,0 |
| 1080 | 18 | 28,8 | 4,4 | 34,8 | 5,4 | 38,4 | 5,9 | 42,8 | 6,6 | 48,9 | 7,5 | 55,0 | 8,5 | 58,5 | 9,0 | 63,0 | 9,7 | 69,0 | 10,6 |
| 1440 | 24 | 30,9 | 3,6 | 37,1 | 4,3 | 40,8 | 4,7 | 45,4 | 5,3 | 51,6 | 6,0 | 57,8 | 6,7 | 61,5 | 7,1 | 66,1 | 7,7 | 72,3 | 8,4 |
| 2880 | 48 | 36,7 | 2,1 | 44,2 | 2,6 | 48,6 | 2,8 | 54,1 | 3,1 | 61,6 | 3,6 | 69,1 | 4,0 | 73,5 | 4,3 | 79,0 | 4,6 | 86,5 | 5,0 |
| 4320 | 72 | 40,6 | 1,6 | 48,8 | 1,9 | 53,6 | 2,1 | 59,7 | 2,3 | 68,0 | 2,6 | 76,2 | 2,9 | 81,0 | 3,1 | 87,1 | 3,4 | 95,3 | 3,7 |

Angaben in mm: Bemessungsniederschlagswerte h(n)

Angaben in l / (s ha): Regenspende R(n) mit $R(n) = h(n) \times 1,666667 / D[\text{min}]$

Toleranzbereiche:

+/- 10 % für $1 \text{ a} \leq T \leq 5 \text{ a}$

+/- 15 % für $5 \text{ a} < T \leq 50 \text{ a}$

+/- 20 % für $50 \text{ a} < T \leq 100 \text{ a}$

Datenbasis: KOSTRA-DWD-2010R des Deutschen Wetterdienstes. Die Regenspende wurde auf Basis des Bemessungsniederschlags zur jeweiligen Andauer berechnet.

Für die Richtigkeit und Aktualität der Angaben wird keine Gewähr übernommen. Erstellt 07/2022.

Starkniederschlagshöhen und -spenden gemäß KOSTRA-DWD-2010R

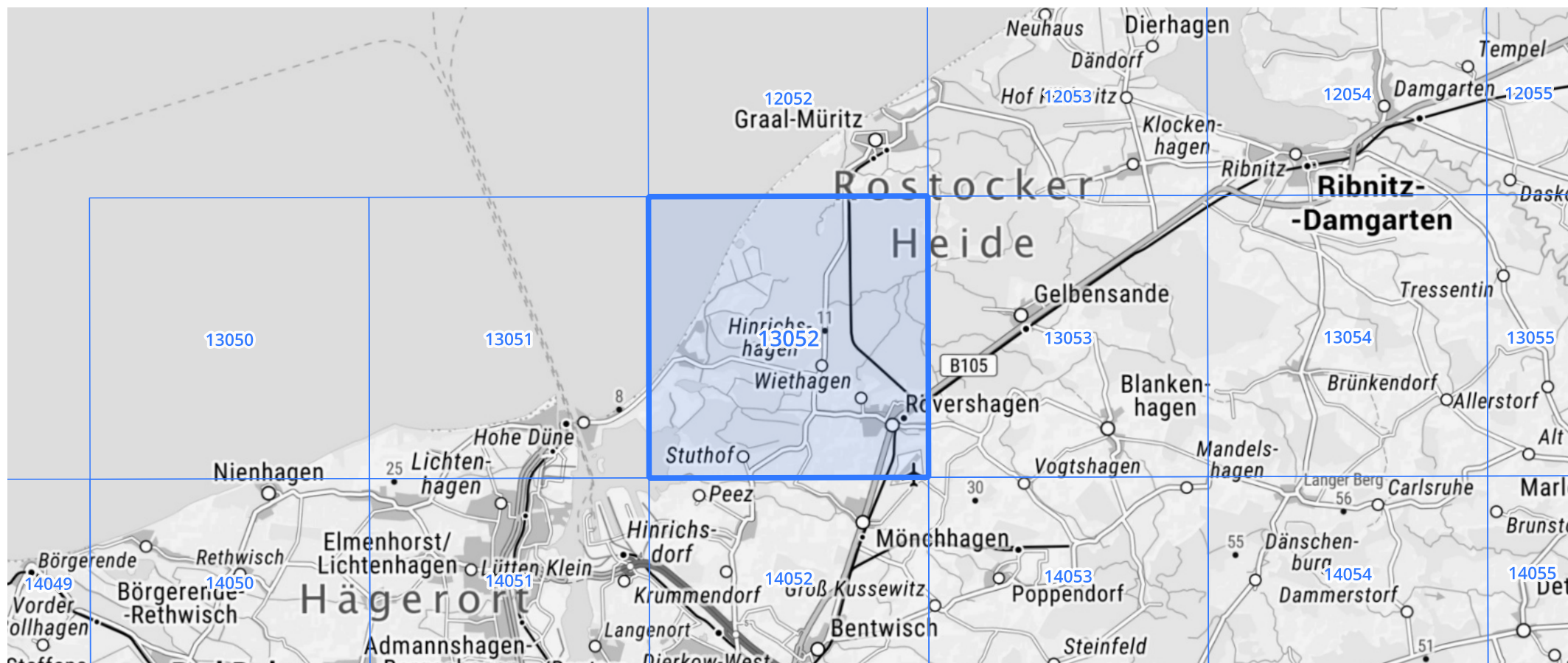
Auswertungszeitraum von 1951 - 2010, Januar - Dezember

Rasterfeld: 13052

Zeile: 13

Spalte: 52

Seite: 2/2



Quelle Rasterdaten: KOSTRA-DWD-2010R des Deutschen Wetterdienstes.

Kartendarstellung: © Bundesamt für Kartographie und Geodäsie (2022), Datenquellen: https://sgx.geodatenzentrum.de/web_public/gdz/datenquellen/Datenquellen_TopPlusOpen.html

Für die Richtigkeit und Aktualität der Angaben wird keine Gewähr übernommen. Erstellt 07/2022.